

九州大学工学部 正員 黒谷陽一
九州工業大学 正員 ○藤崎一裕

II. まえがき

流速分布をもつ流れの中に投入された物質は、乱流混合以外に速度差にもとづく伸長効果をうけて拡散する。この現象には縦分散または移流分散ともよばれ、通常の乱流拡散に比べてその分散効果は著しく大きい。

沈降性のない物質の縦分散については、すでに多くの検討がなされており¹⁾、沈降性粒子についても、水路系内で物質保存則が成立する場合（水路底部への粒子の沈積がない場合）について、モーメント法を用いて分散係数が求められている²⁾。沈降性粒子に関するこの種の問題を取扱う場合、水路底部における粒子の挙動を細かく把握することが困難である。そこで本報では、現象のもう一方の極端な場合を抑えう意味で、水路底部に沈積した粒子の再浮上を考えない場合について、類似の現象の解析を試みた。

2. 基礎式

図1のように座標軸をとり、粒子濃度をC、粒子の沈降速度をw_sとすると、保存則および境界条件は

$$\frac{\partial C}{\partial t} + \frac{\partial(uC)}{\partial x} = \frac{\partial}{\partial x}(D \frac{\partial C}{\partial x}) + \frac{\partial}{\partial y}(D \frac{\partial C}{\partial y} + w_s C) \quad (1)$$

$$D \frac{\partial C}{\partial y} + w_s C = 0 \quad ; \quad (y = h) \quad (2.1)$$

$$\frac{\partial C}{\partial y} = 0 \quad ; \quad (y = y_0) \quad (y_0: u=0となるyの値) \quad (2.2)$$

となる。開水路等流状態を考え、流速分布に対数分布を仮定すると、次式となる。

$$\frac{u}{u_*} = A + \frac{1}{K} \ln \frac{u_* y}{v} = \frac{1}{K} \ln \frac{y}{y_0} \quad (3)$$

$$D = K u_* y (1 - \frac{y}{h}) \quad (u_*: 摩擦速度) \quad (4)$$

ここで、濃度Cのx方向の変化は小さいとして、移動座標x₁で展開して1次の項までとり、補正項を付加して、次式で表す。

$$C(y, t) = \bar{C}(y, t)(1 + \alpha x_1) + \hat{C}(y, t) \quad (5)$$

α は定数、 \bar{C} は下の(6)式の解とする（境界条件は(2.1)、(2.2)と類似）

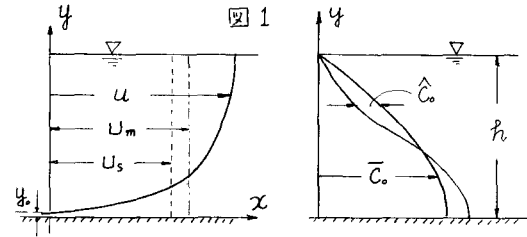
$$\frac{\partial \bar{C}}{\partial t} = \frac{\partial}{\partial y}(D \frac{\partial \bar{C}}{\partial y} + w_s \bar{C}) \quad (6)$$

さらに、上式を変数分離してえられる常微分方程式の最低次の固有値入。および固有関数 $\bar{C}_0(y)$ を用いて、 $\bar{C}(y, t)$ を次式で表す。

$$\bar{C}(y, t) = \{ \bar{C}_0(y) \cdot (1 + \alpha x_1) + \hat{C}_0(y) \} e^{-\lambda_0 t} \quad (7)$$

ここで、 x_1 を粒子基準の平均流速 U_s を用いて

$$x_1 = x - U_s \cdot t \quad (8)$$



$$U_s = \int_{y_0}^h u(y) \bar{C}_0(y) dy / \int_{y_0}^h \bar{C}_0(y) dy \quad (9)$$

とすると、(5)、(8)式を(1)式に代入して

$$\frac{\partial \hat{C}}{\partial t} + \alpha \hat{U}_s \bar{C} = \frac{\partial}{\partial y}(D \frac{\partial \hat{C}}{\partial y} + w_s \bar{C}) \quad (10)$$

$$\hat{U}_s = U - U_s$$

とする。さらに(10)式と(7)式とから

$$\frac{d}{dy}(D \frac{d \hat{C}_0}{dy} + w_s \hat{C}_0) = -\lambda_0 \hat{C}_0 + \alpha \hat{U}_s \bar{C}_0 \quad (11)$$

またには、無次元化して整理すると

$$\bar{y}(1-\bar{y}) \frac{d^2 \hat{C}_0}{dy^2} + (-2\bar{y} + Z) \frac{d \hat{C}_0}{dy} + \lambda_0 \hat{C}_0 = \alpha \hat{U}_s \bar{C}_0 \quad (12)$$

がえられる。このときの境界条件は下の2式となる

$$\bar{y}(1-\bar{y}) \frac{d \hat{C}_0}{dy} + Z \hat{C}_0 = 0 \quad ; \quad (\bar{y} = 1) \quad (13.1)$$

$$\alpha \hat{C}_0 / d\bar{y} = 0 \quad ; \quad (\bar{y} = \bar{y}_0) \quad (13.2)$$

ここで $Z = w_s / (K u_*)$ 、

$$\left. \begin{aligned} \bar{y} &= y/h, \quad \bar{y}_0 = y_0/h, \quad \hat{U}_s = \hat{U}_s / (K u_*), \\ \bar{t} &= t \cdot K u_* / h, \quad \bar{x} = x/h, \quad \bar{U}_s = U_s / (K u_*) \end{aligned} \right\} \quad (14)$$

とする。

(12) 式の解は、同式の同時方程式の解が $\bar{C}_0(y)$ であることを利用して、定数変化法により次式で表される

$$\begin{aligned} \hat{C}_0 &= \bar{C}_0 \int_{\frac{\bar{y}}{2}}^{\bar{y}} dy \left\{ \left[\alpha \int_{\frac{\bar{y}}{2}}^{\bar{y}} Q(\bar{y}) e^{P(\bar{y}) dy} d\bar{y} + A_1 \right] e^{-P(\bar{y}) dy} + A_2 \right\} \\ P(\bar{y}) &= 2 \frac{(d\bar{C}_0/d\bar{y})}{\bar{C}_0} / \left\{ (\bar{C}_0 + (1 - 2\bar{y} + Z)) / \{ \bar{y}(1 - \bar{y}) \} \right\} \\ Q(\bar{y}) &= \hat{u}_s / \{ \bar{y}(1 - \bar{y}) \}, A_1, A_2: \text{積分定数} \end{aligned} \quad (15)$$

一方、(1) 式と (5) 式より境界条件を考慮して、全水深にわたって平均すると、(16) 式となる

$$\frac{\partial \langle C \rangle}{\partial t} + u_s \frac{\partial \langle C \rangle}{\partial x} = \frac{\partial}{\partial x} \int_{\frac{\bar{y}}{2}}^{\bar{y}} \hat{u}_s C d\bar{y} - \lambda_c \langle C \rangle \quad (16)$$

$$t = T: \quad \langle C \rangle = \int_{\frac{\bar{y}}{2}}^{\bar{y}} C d\bar{y}$$

(16) 式の右辺第1項が移流分散を生じる項で、この場合の分散係数 $D_L(z)$ は次式で表される。

$$\frac{D_L(z)}{\mu u_*} \frac{\partial \langle C \rangle}{\partial x} = -K \int_{\frac{\bar{y}}{2}}^{\bar{y}} \hat{u}_s \hat{C} d\bar{y} \quad (17)$$

$$\text{すなはち } \frac{D_L}{\mu u_*} = -K \langle \hat{u}_s \hat{C} \rangle \quad (18)$$

なお、水路底部においても (2.1) 式が成立する仮定すれば、粒子の沈積を認めない場合に対応するから、(15), (9) 式の \bar{C}_0 に Rouse 分布を用いると、(18) 式は

$$\begin{aligned} \frac{D_L}{\mu u_*} &= -K \frac{\sin(\pi z)}{\pi z} \int_{\frac{\bar{y}}{2}}^{\bar{y}} \hat{u}_s \left(\frac{1-\bar{y}}{\bar{y}} \right)^2 d\bar{y} \int_{\frac{\bar{y}}{2}}^{\bar{y}} \left(\frac{1-\bar{y}}{\bar{y}} \right)^2 \frac{1}{\bar{y}(1-\bar{y})} d\bar{y} \\ &\times \int_{\frac{\bar{y}}{2}}^{\bar{y}} \hat{u}_s \left(\frac{1-\bar{y}}{\bar{y}} \right)^2 d\bar{y}. \quad (19) \end{aligned}$$

となる。上式は、Sumer によりモーメント法を用いて導かれた式と一致する。

3. 計算結果

図2および図3に、それぞれ $\bar{C}_0(y)$, $\hat{C}_0(y)$ と Z との関係を示す。 $(\int_{\frac{\bar{y}}{2}}^{\bar{y}} \hat{C}_0 dy = 1)$ とした。図4には、(粒子の再浮上を認めない場合に相当する) (18) 式による分散係数 (I) と(沈積を認めない場合の) (19) 式による値とを、 $Z = 0$ の中立系粒子の値との比で示した。

図4によると、 Z の値の増加について、 D_L の値も急激に増大する傾向が認められる。また、(I)の方が(II)に比べて値が小さめに出ているが、これは水路下部における Rouse 分布と \bar{C}_0 との差によるものであろう。

参考文献

- (1) Elder, J. W.: J. Fluid Mech., Vol. 15, 1959, pp. 544~560
- (2) Sumer, B. M.: J. Fluid Mech., Vol. 65, 1974, pp. 11~28

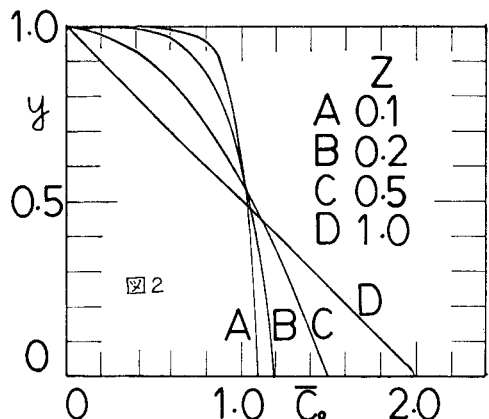


図2

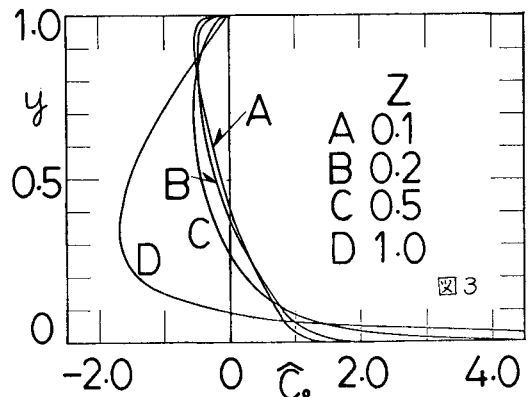


図3

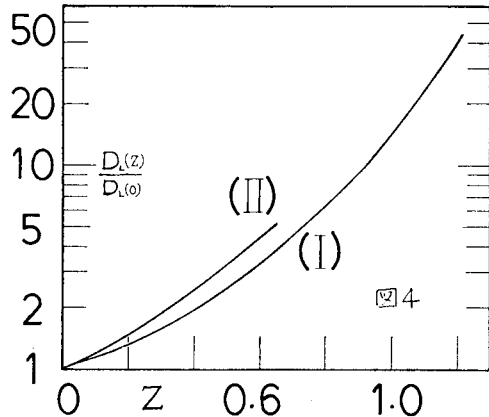


図4

なお(I)の計算値は $Re = u_* h / \nu = 30.000$ ($\bar{y} = 0.000226$) の場合で、(II)の積分の下限は 10^{-5} とし、数値積分は台形公式によつた。(総分割数 900)

3) 粟谷、藤崎: 土木学会論文報告集 第277号, 1978, pp. 133~136